

Absolutely stable model-base force controller

Corso: pHRI

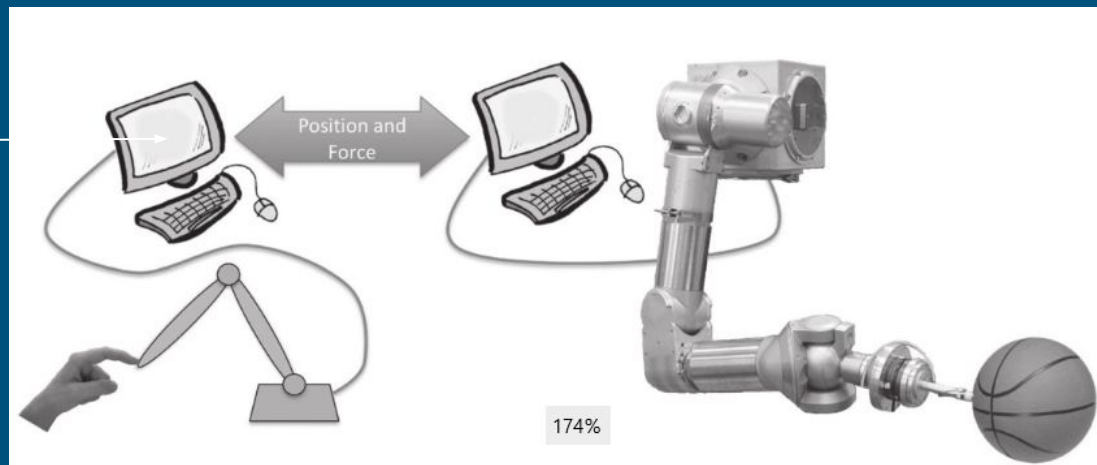
Studente: Giovanni Bagolin, VR445681

Data: 12/10/2020

Intro

Sistema di teleoperazione:

Controllore



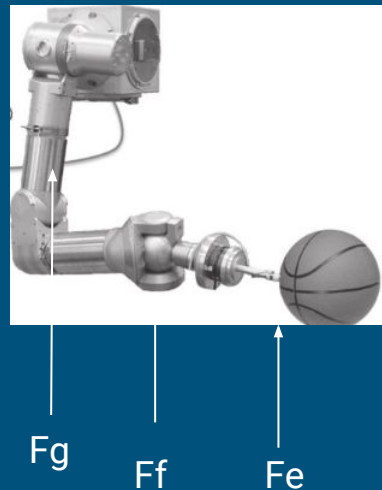
Robot master

Robot slave

Intro

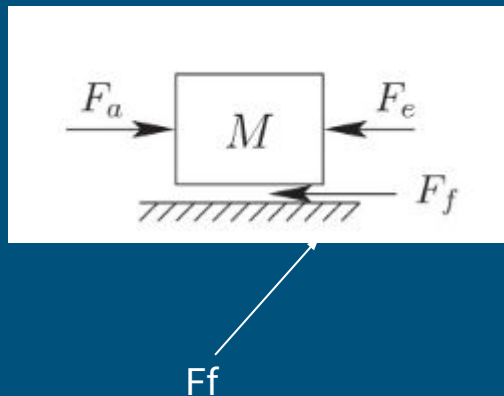
Robot soggetti a forze:

- inerzia
- attrito
- forze di contatto

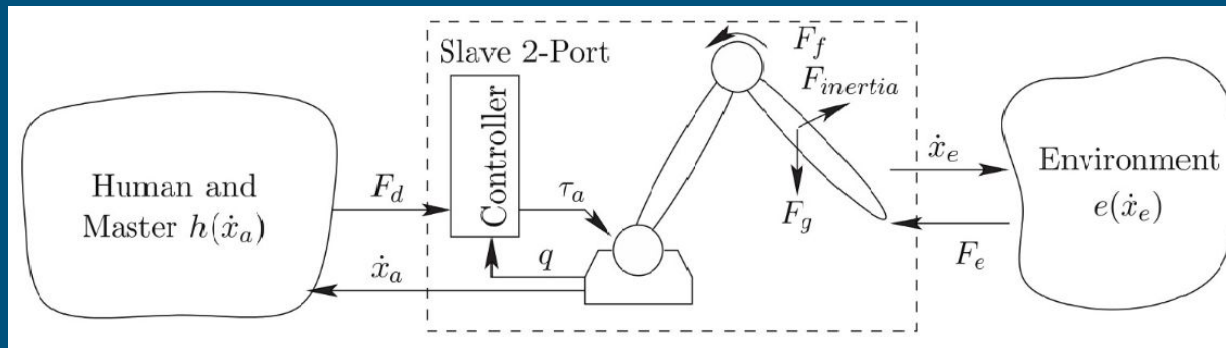


Intro

Obiettivo: ridurre la forza di attrito.



Controllore di forza basato sul modello ideale



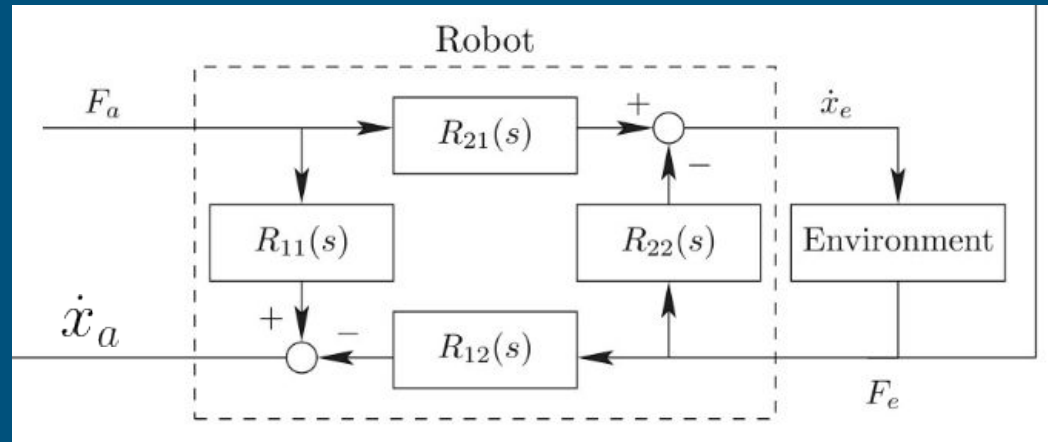
Modello robot slave.

$$F_e = \frac{E(s)}{1 + E(s) \cdot R_{2,2}} \cdot F_d \cdot R_{2,1}$$

$$\dot{x}_e = F_a \cdot R_{2,1} - F_e \cdot R_{2,2}$$

$$\dot{x}_a = F_a \cdot R_{1,1} - F_e \cdot R_{1,2}$$

$$R_{i,j} = \frac{1}{M_s + b}$$



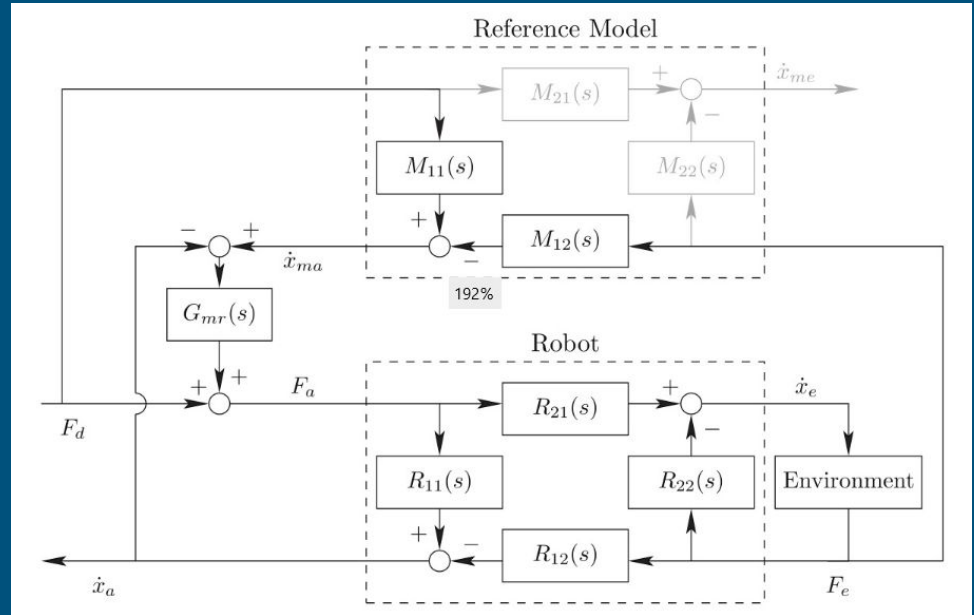
Modello slave + modello ideale

$$M_{i,j} = \frac{1}{M_r s}$$

$$G_{mr}(s) = K$$

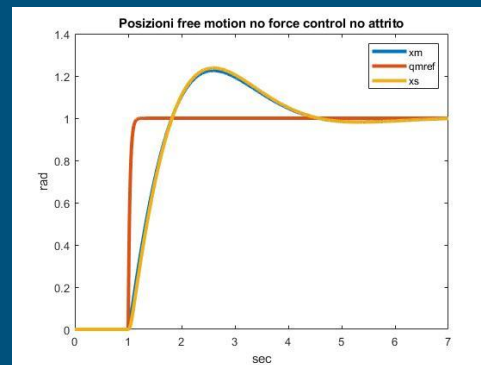
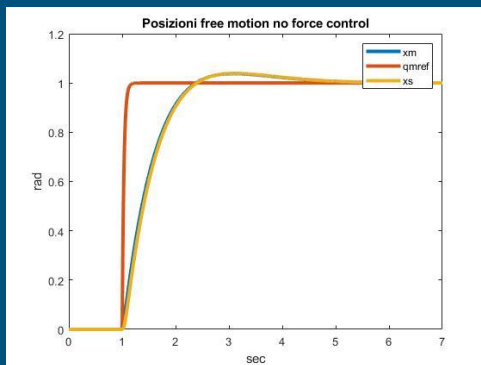
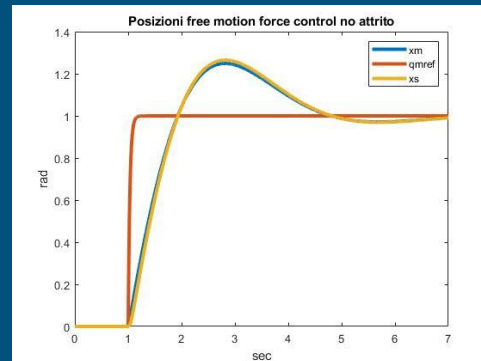
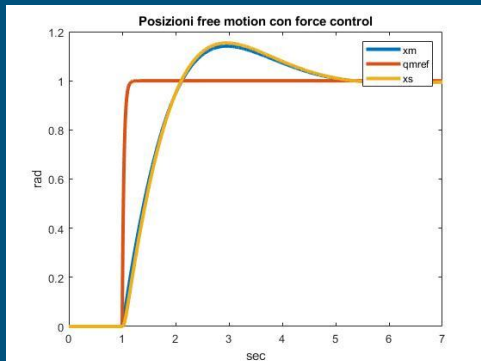
$$\dot{x}_{ma} = F_d \cdot M_{1,1} - F_e \cdot M_{1,2}$$

$$F_c = (\dot{x}_{ma} - \dot{x}_a) \cdot G_{mr}(s)$$



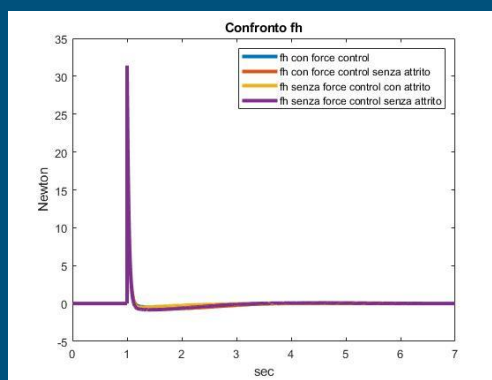
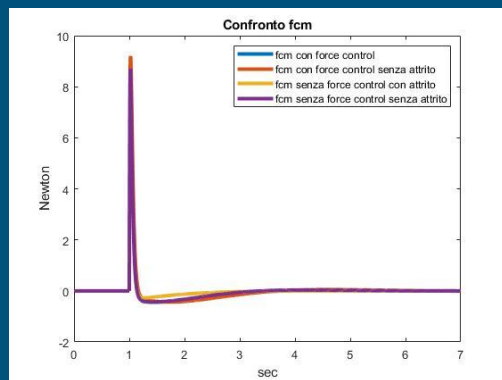
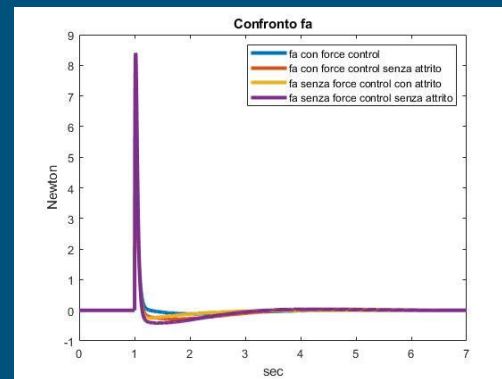
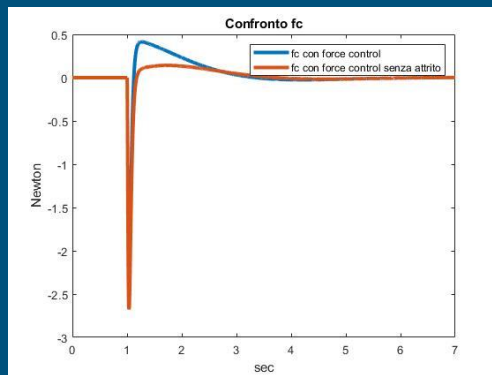
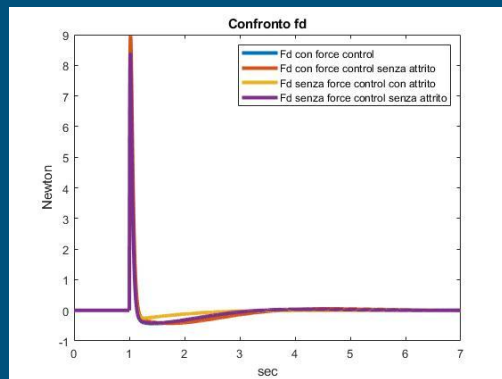
Risultati simulazione

Confronto posizioni



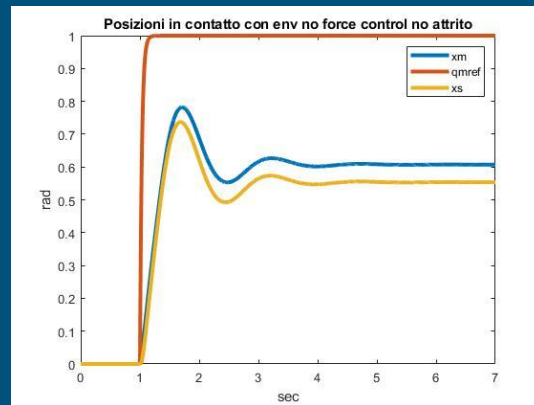
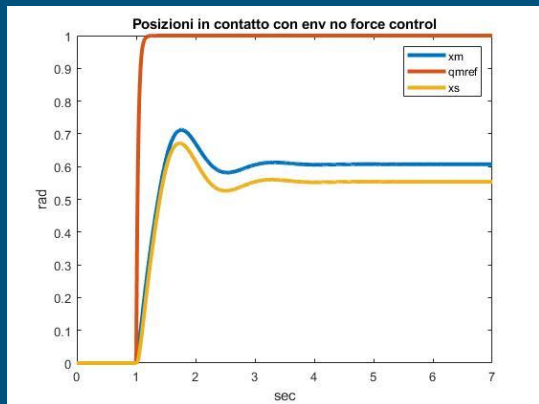
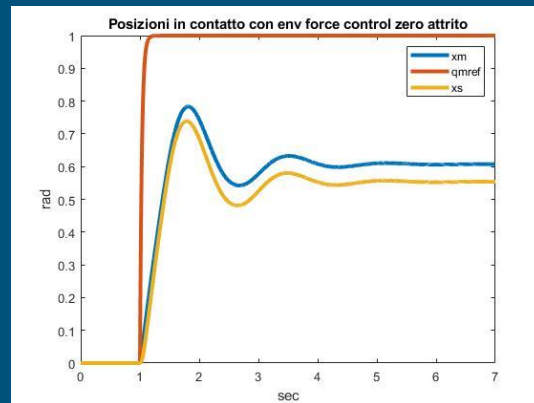
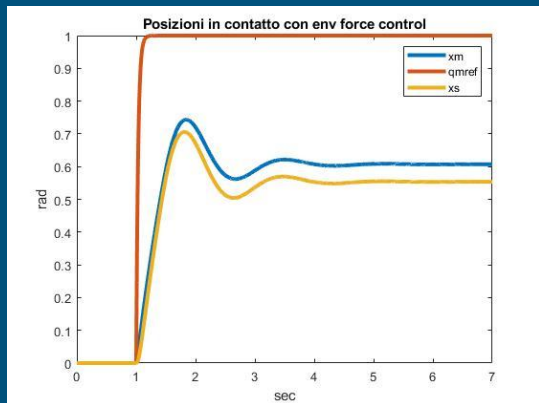
Risultati simulazione

Confronto forze



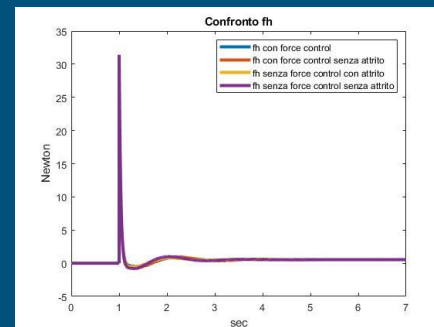
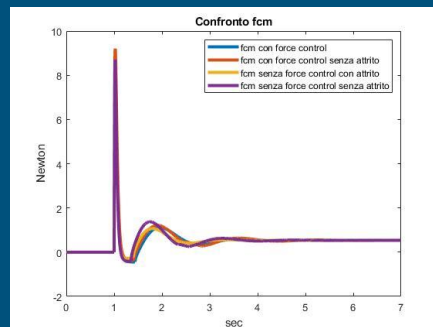
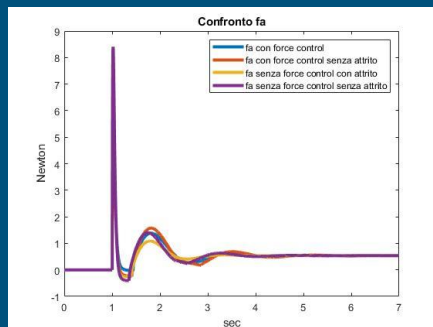
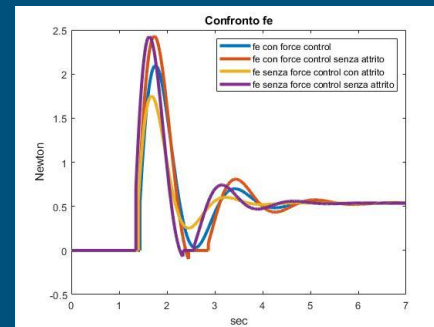
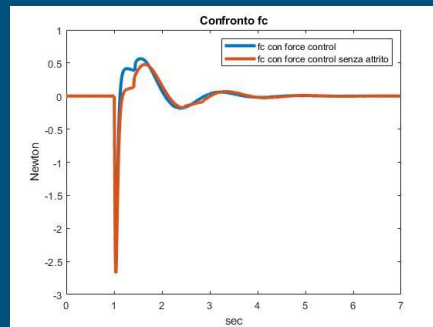
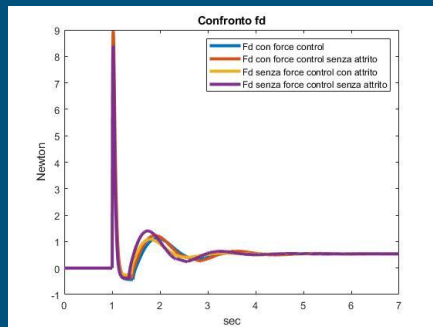
Risultati simulazione

Confronto posizioni, slave in contatto con env, (0.5 rad)



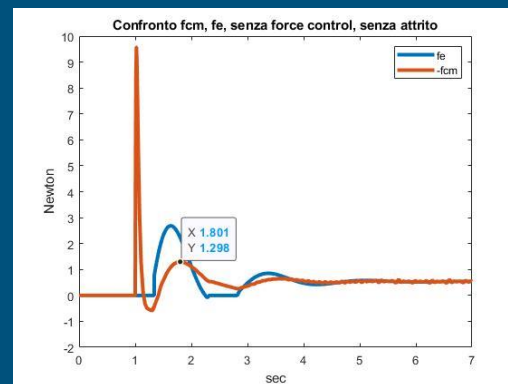
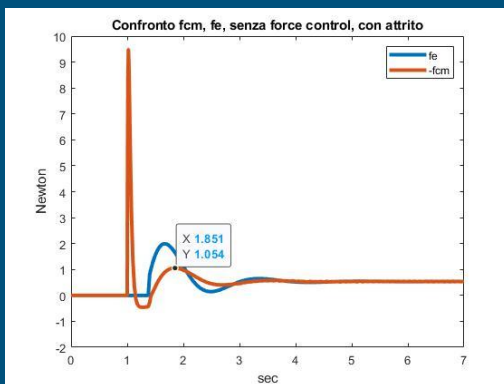
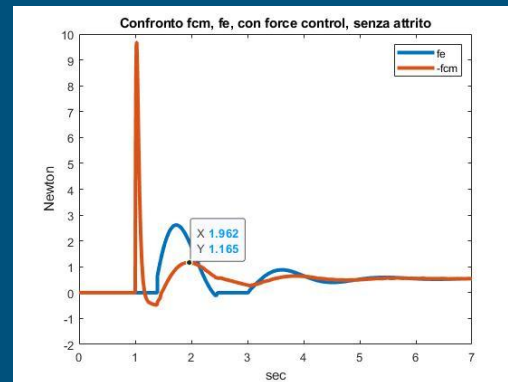
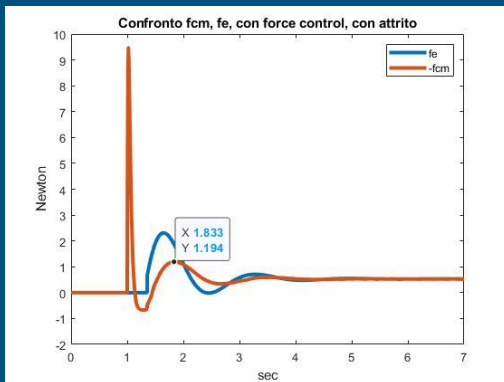
Risultati simulazione

Confronto forze, slave in contatto con env, (0.5 rad)



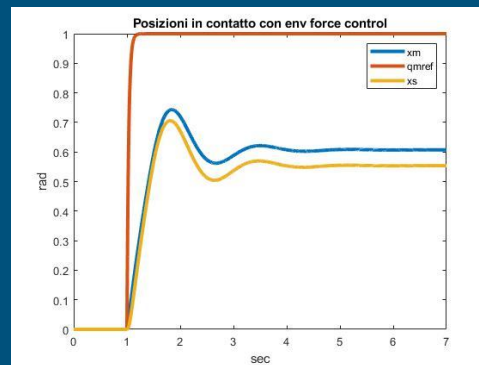
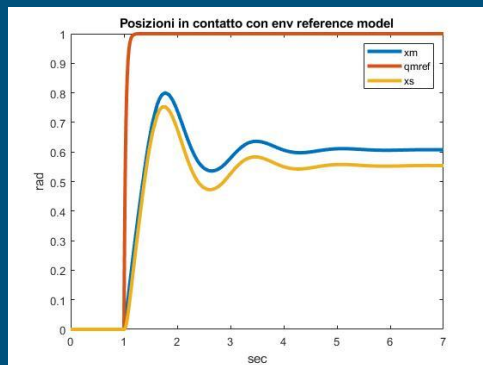
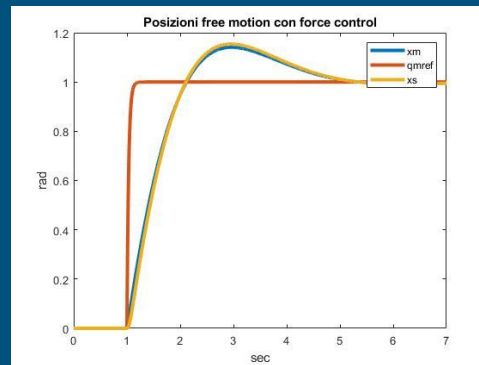
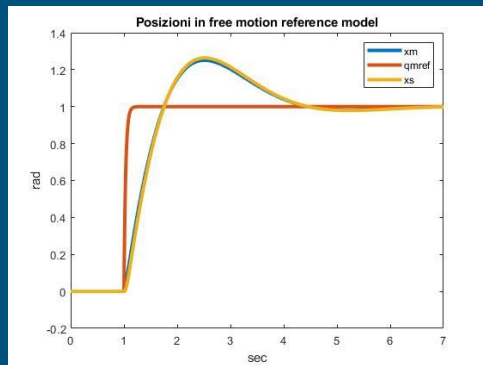
Risultati simulazione

Confronto force feed-back master e forza dell'environment



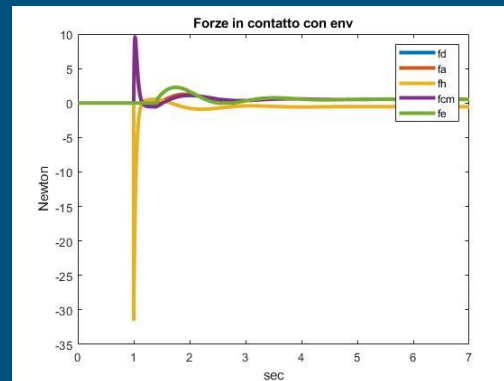
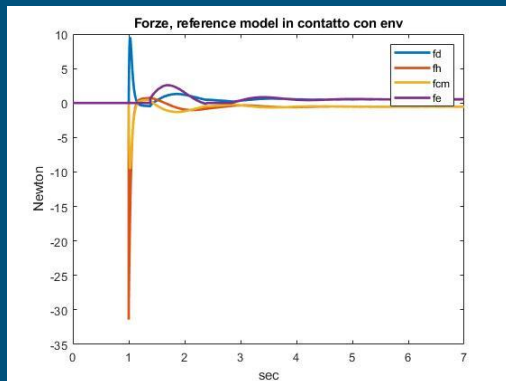
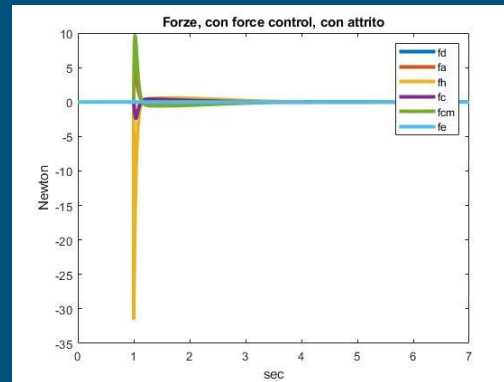
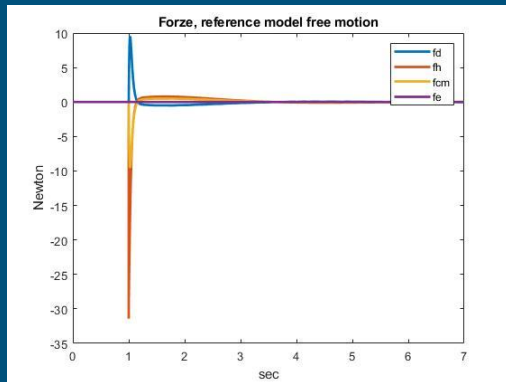
Risultati simulazione

Confronto posizioni, free motion, reference model



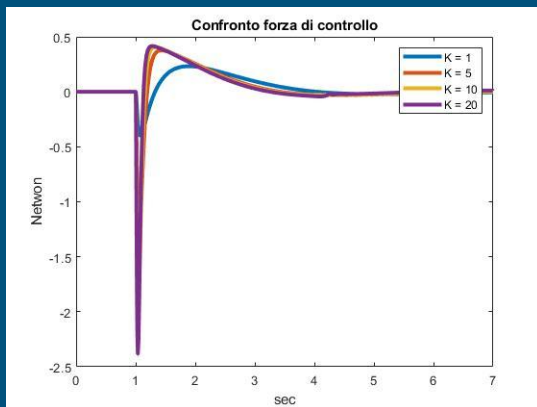
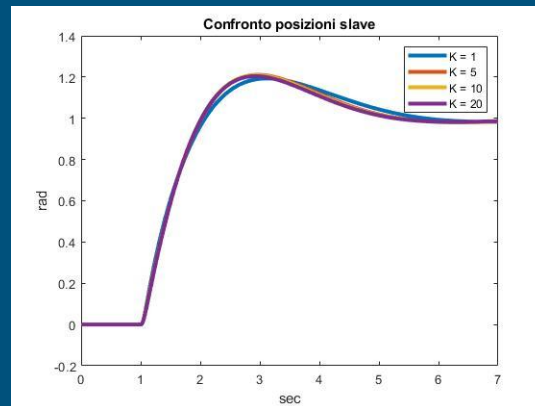
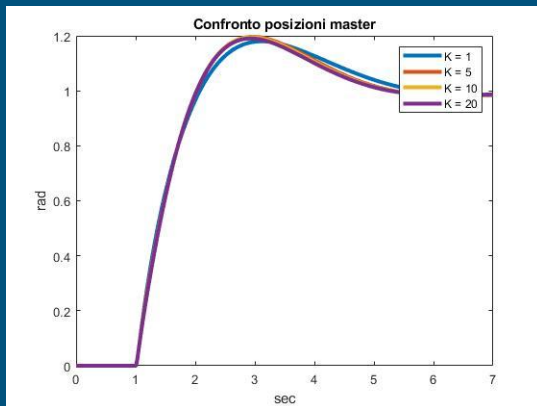
Risultati simulazione

Confronto forze, free motion, reference model



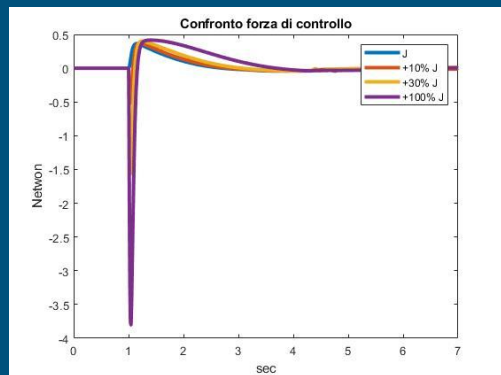
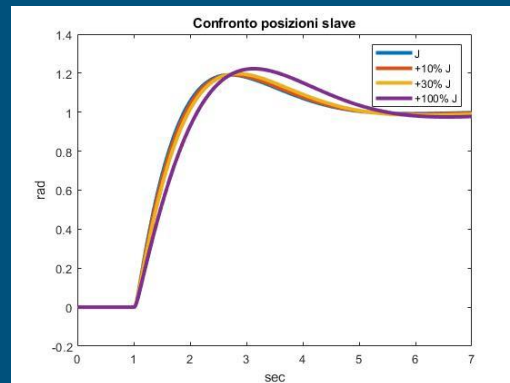
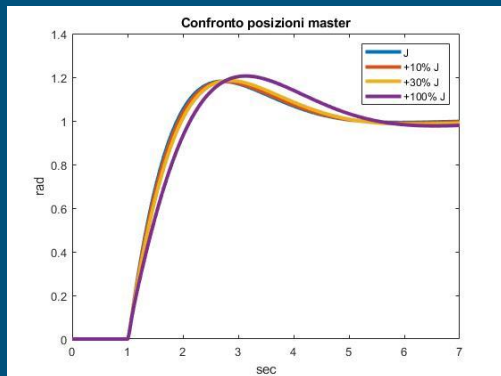
Risultati Simulazione

Confronto posizioni master slave e forze con diversi valori di K



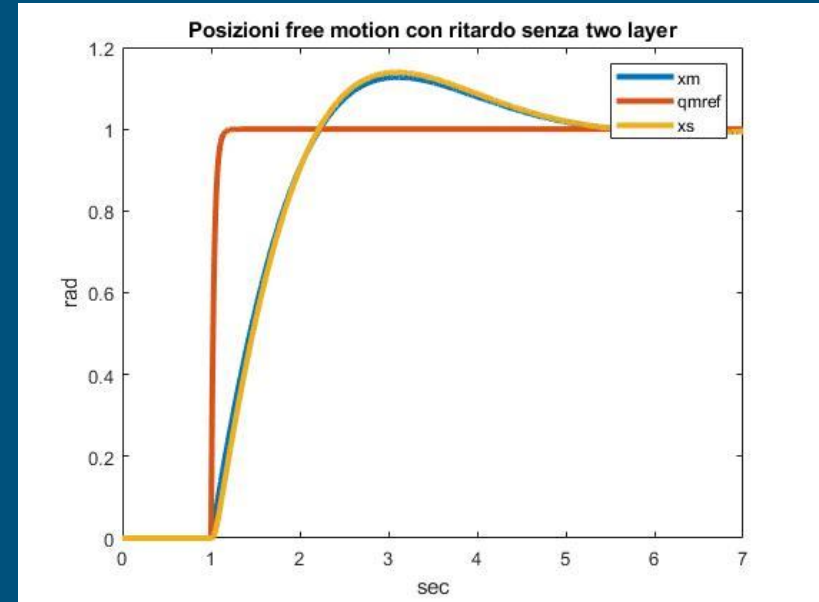
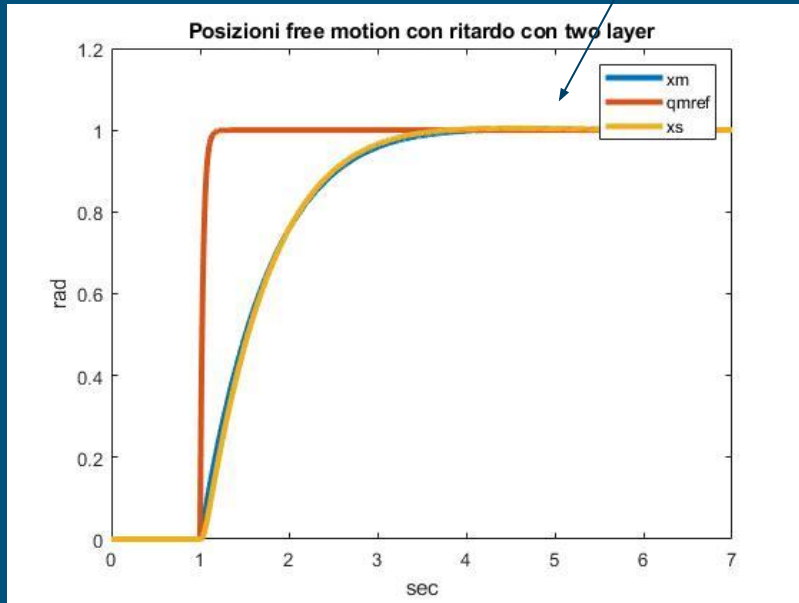
Risultati simulazione

Confronto posizioni master slave e forze con diversi valori di J_r



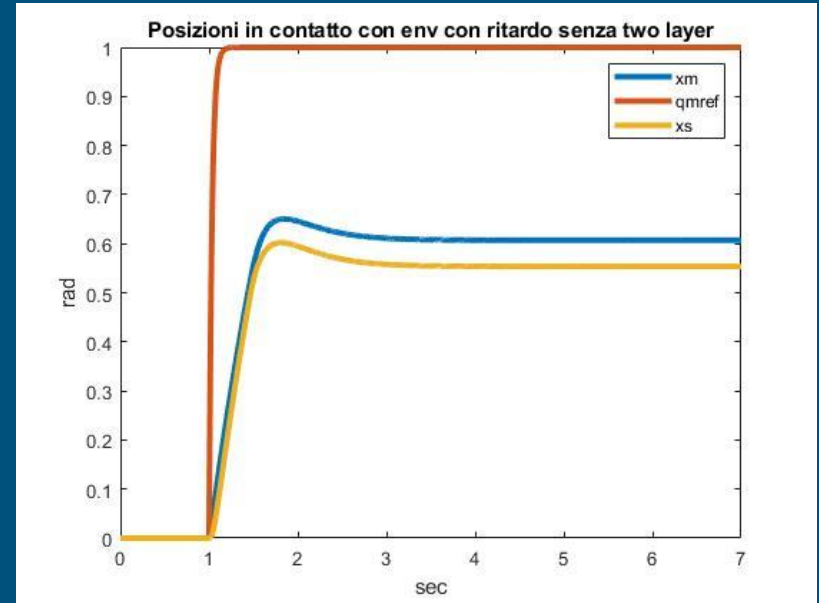
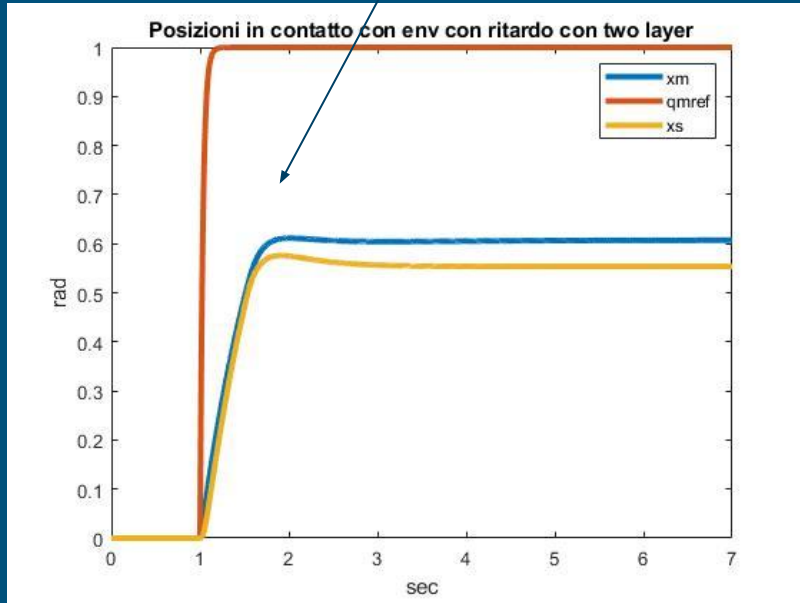
Confronto posizioni con two-layer attivo e senza two-layer in free motion con ritardo

Overshoot
cancellato



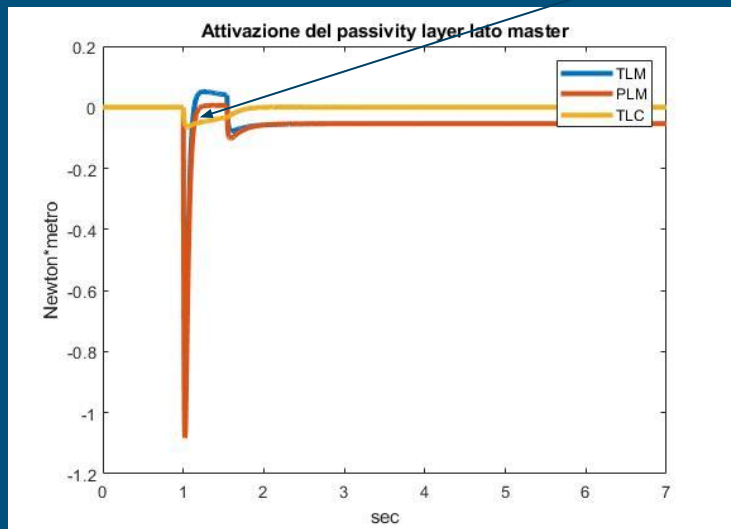
Confronto posizioni con two-layer attivo e senza two-layer in contatto con ritardo, posizione env = 0.5 (rad)

Overshoot diminuito

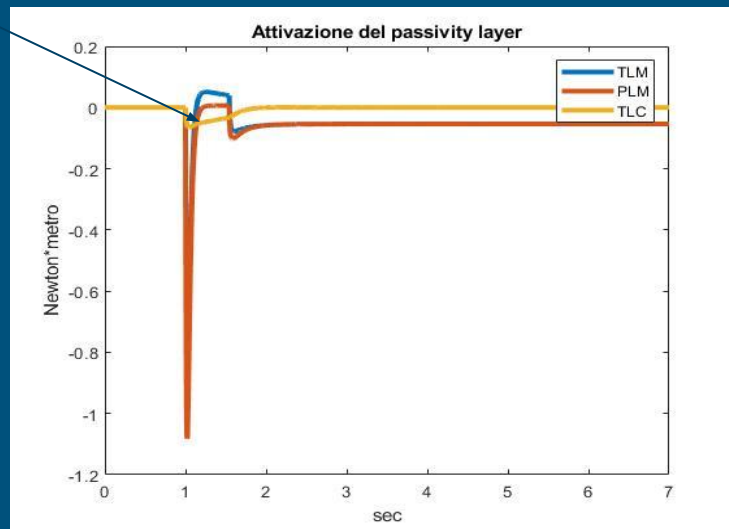


Confronto attivazione passivity-layer in free motion e in contatto con env, posizione env 0.5 (rad). Lato master.

Il passivity-layer modula la coppia fornita dal transparency-layer grazie al TLC.



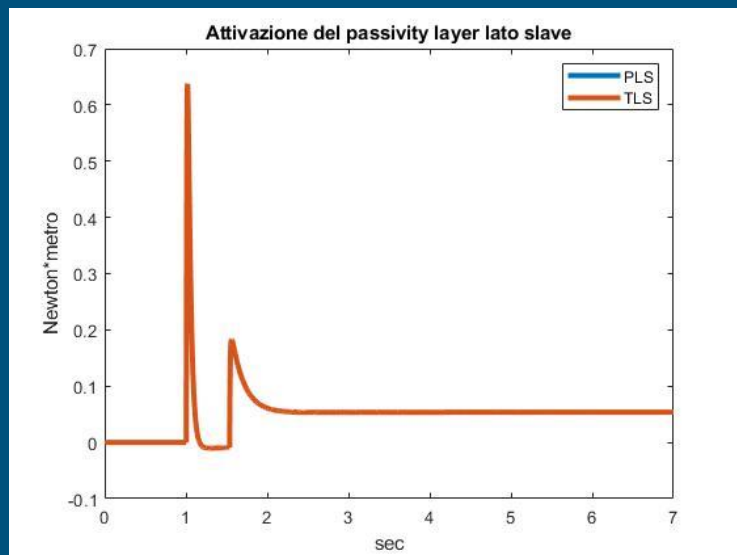
Free-motion



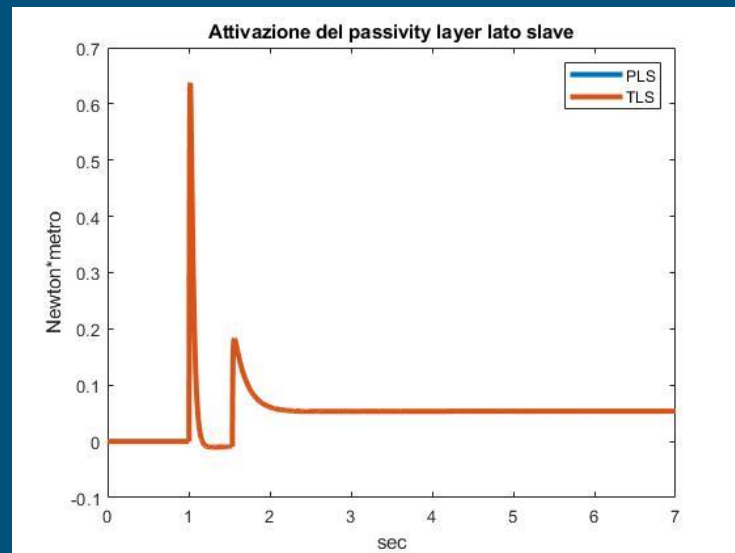
In contatto con
env

Confronto attivazione passivity-layer in free motion e in contatto con env, posizione env 0.5 (rad). Lato slave.

Il passivity layer non agisce, perchè l'energia del tank non scende mai sotto il livello minimo.



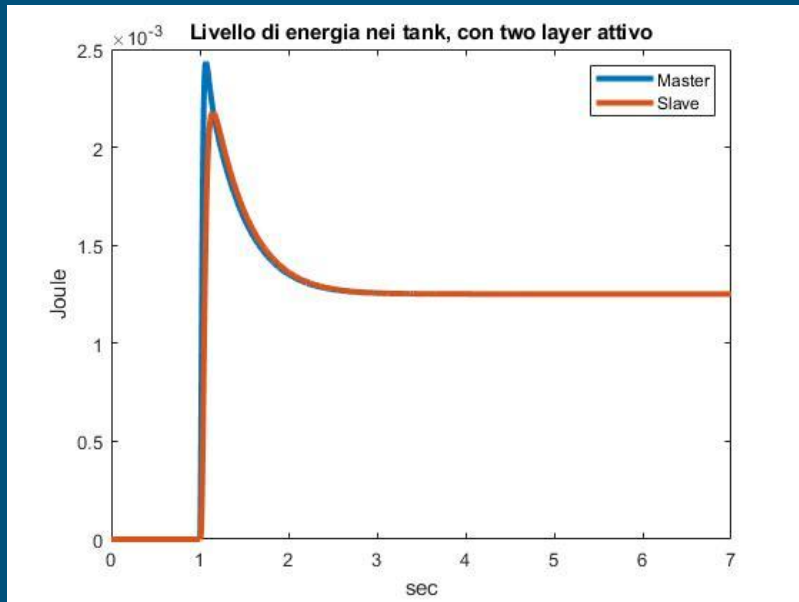
Free-motion



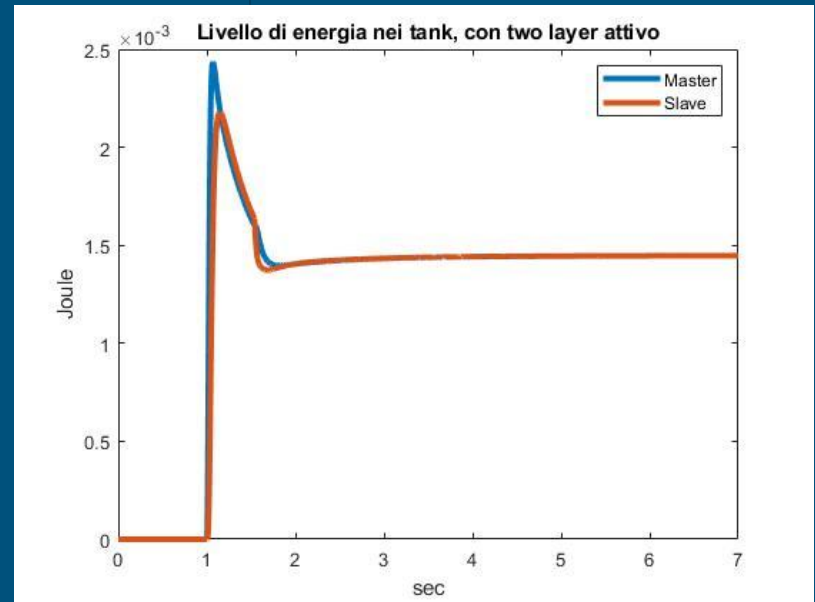
In contatto con
env

Confronto livello tank in free motion e in contatto con env.

Livello Minimo = 0 (J), Livello Desiderato = 0.5 (J), Livello massimo = 1 (J)



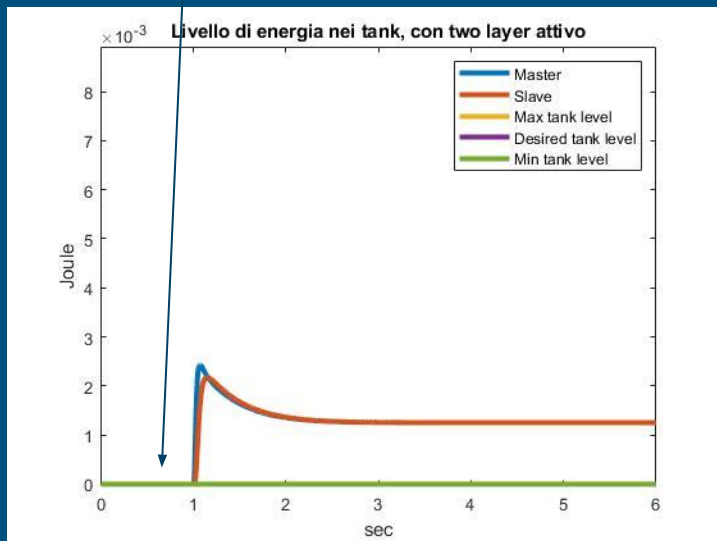
Free-motion



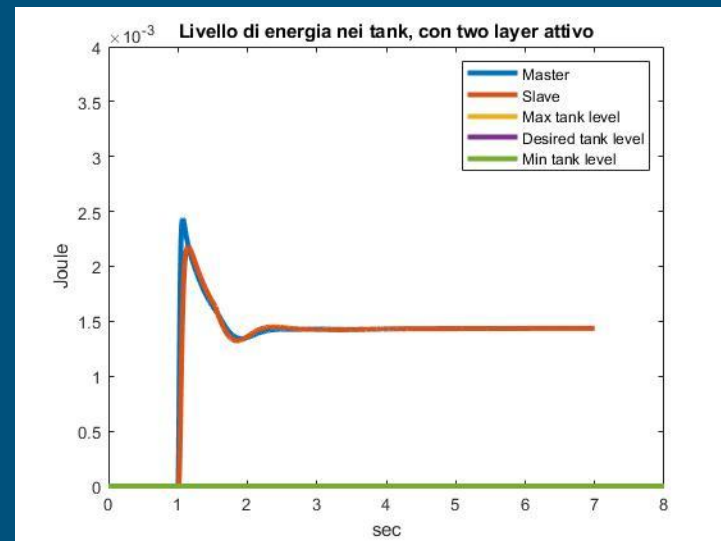
In contatto con
env

Livello dei tank evidenziando il minimo

Livello Minimo = 0 (J), Livello di energia nel tank sempre sopra il livello minimo

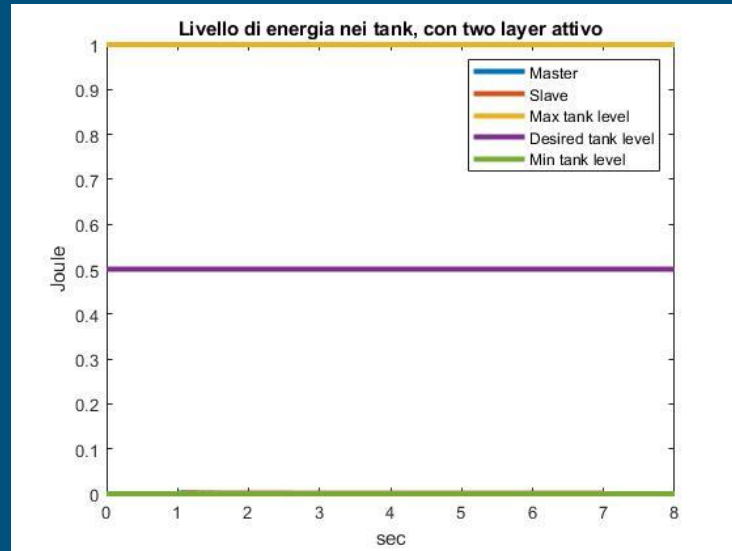


Free-motion



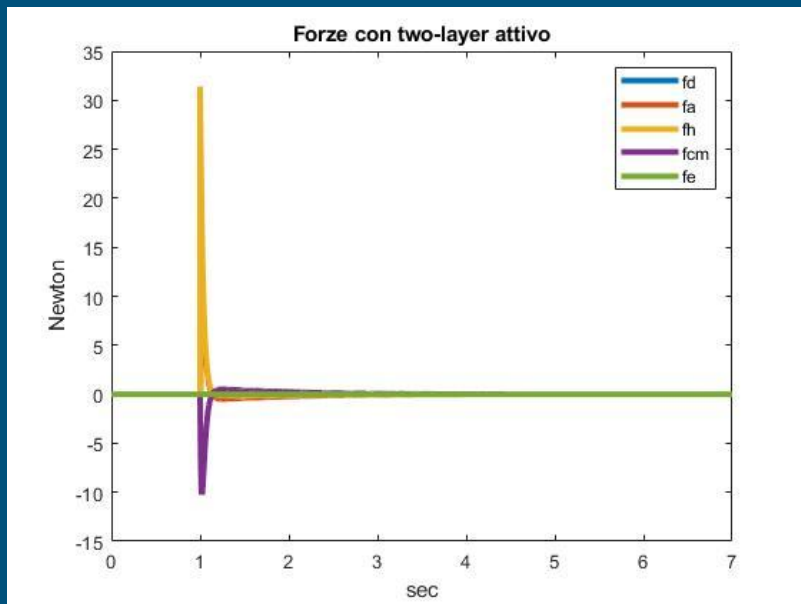
In contatto con
env

Livello Massimo, desiderato e minimo dei tank.

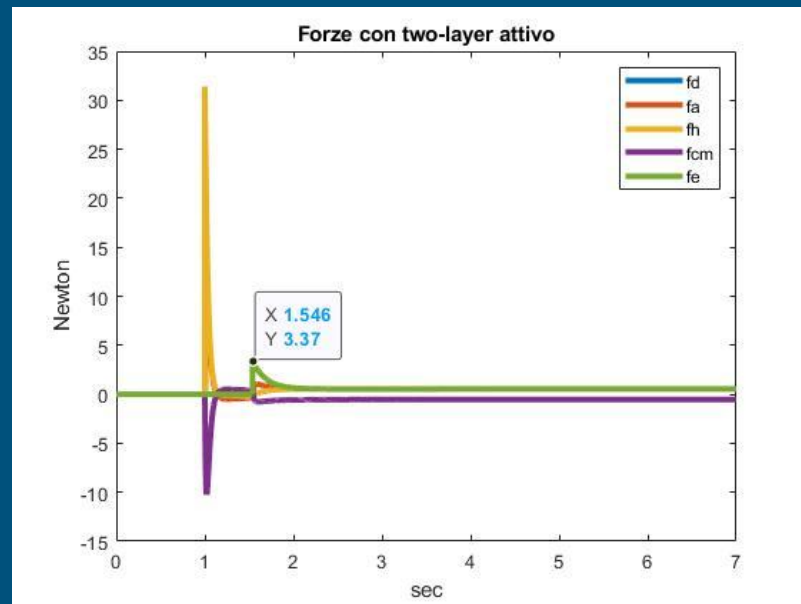


Confronto forze tra sistema in free-motion e in contatto con env, con two-layer attivo.

F_d = Forza desiderata che si vorrebbe applicare allo slave, F_a = forza veramente applicata allo slave, F_h = forza dell'operatore, F_{cm} = force feedback del master, F_e = forza di contatto con l'env.



Free-motion



In contatto con
env